



دانشگاه کردستان  
University of Kurdistan  
زانکوی کوردستان

# Nonlinear Analysis of Structures

## Nonlinear Elastic-Plastic Analysis of Space Frames

By: Kaveh Karami

Associate Prof. of Structural Engineering

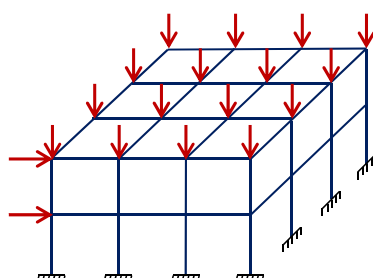
<https://prof.uok.ac.ir/Ka.Karami>

### Nonlinear Elastic-Plastic Analysis of Space Frames

#### □ Large Deformation Elastic-Plastic Analysis of Space Frames

فرضیات:

- این روش براساس فرمول‌بندی Eulerian است و اثر انتقال‌ها و دوران‌های بزرگ گره‌ای را در نظر می‌گیرد.
- روابط محلی (Local) نیرو تغییر شکل اعضا براساس روابط تیر-ستون می‌باشد؛ که در آن تغییر طول عضو ناشی از کرنش محوری و اثر Bowing ناشی از خمش لحاظ شده است.
- مصالح به صورت الاستیک-پلاستیک ایده‌آل فرض می‌گردد؛ و تسلیم به صورت متتمرکز در دو انتهای عضو به شکل مفصل‌های پلاستیک در نظر گرفته می‌شود.
- اثر نیروی محوری بر روی سختی پیچشی، خمشی و ظرفیت خمش پلاستیک اعضا در نظر گرفته شده است.
- نیروها به صورت بار مرکزی در گره‌ها وارد می‌شود.



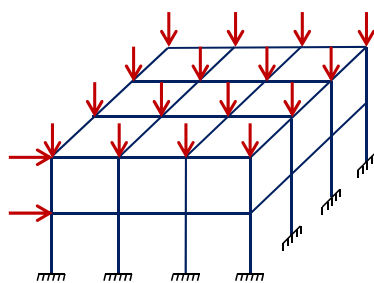
# Nonlinear Elastic-Plastic Analysis of Space Frames

## □ Large Deformation Elastic-Plastic Analysis of Space Frames

دو روش المان محدود پرکاربرد برای آنالیز غیرخطی مصالح و تغییرشکل‌های بزرگ قاب‌های فضایی:

.I. Bathe: که فرمول‌های آن براساس اصول مکانیک محیط‌های پیوسته است. به طوری که کرنش‌ها و دوران‌های نمایی جسم صلب، کوچک فرض می‌گردد. اما ممکن است جابجایی‌های انتقالی، بزرگ باشد. غیرخطی مصالح نیز با در نظر گرفتن روابط مشخصه مناسب لحاظ می‌گردد.

.II. Argyris: که فرمول‌های آن براساس تکنیک مود طبیعی (Natural Mode Technique) است. در این روش از مفهوم دوران‌های نیمه مماسی برای حل مشکل جمع‌ناپذیر بودن دوران‌های بزرگ در فضا استفاده می‌شود.



در ادامه اصلاح فرمول‌بندی مربوط به تغییر شکل‌های بزرگ با در نظر گرفتن اثرات رفتار مصالح - پلاستیک ارائه می‌گردد.

3

# Nonlinear Elastic-Plastic Analysis of Space Frames

## □ Force-Deformation Relations for Elastic Members

برای یک عضو الستیک دلخواه از یک قاب سه بعدی که در دو انتهای اتصال گیردار است، روابط بین تغییر شکل‌های نسبی و نیروهای متناظر به صورت زیر نوشته می‌شود:

$$M_{1j} = \frac{EI_j}{\ell} [c_{1j}\theta_{1j} + c_{2j}\theta_{2j}] \quad (j = 2, 3) \quad (1)$$

$$M_{2j} = \frac{EI_j}{\ell} [c_{2j}\theta_{1j} + c_{1j}\theta_{2j}] \quad (j = 2, 3) \quad (2)$$

$$M_t = \frac{c_t}{\ell} \phi_t \quad (3)$$

$$Q = EA \left( \frac{u}{\ell} - \sum_{j=2}^3 c_{bj} \right) \quad (4)$$

: دوران گره i م حول محور j م

: لنگر در گره i م حول محور j م

: ممان اینرسی حول محور j م

: سطح مقطع عضو

: مدول یانگ

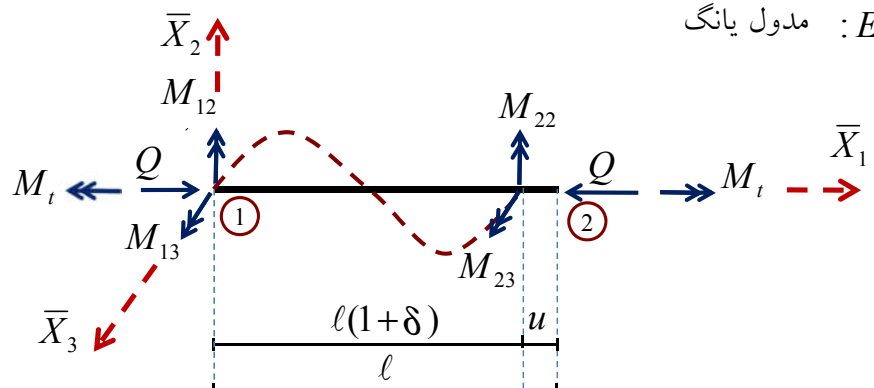


Fig. 1. Member Forces

4

# Nonlinear Elastic-Plastic Analysis of Space Frames

## □ Force-Deformation Relations for Elastic Members

توابع پایداری خمی (Bending Stability Functions) نام دارند که خود تابعی از  $Q$  است.

در صورتی که  $Q$  نیروی محوری فشاری باشد

$$\text{if } \frac{Q}{Q_{cr=Euler}} < 0 \Rightarrow q_j = \frac{Q}{Q_{cr=Euler}} > 0$$

$$c_{1j} = \frac{\phi_j \sin \phi_j - \phi_j^2 \cos \phi_j}{2 - 2 \cos \phi_j - \phi_j \sin \phi_j}, \quad c_{2j} = \frac{\phi_j^2 - \phi_j \sin \phi_j}{2 - 2 \cos \phi_j - \phi_j \sin \phi_j} \quad (5)$$

که در آن

$$\phi_j^2 = \frac{Q\ell^2}{EI_j}$$
$$q_j = \frac{Q}{Q_{cr=Euler}} = \frac{Q\ell^2}{\pi^2 EI_j} \Rightarrow \phi_j^2 = \pi^2 q_j$$

5

# Nonlinear Elastic-Plastic Analysis of Space Frames

## □ Force-Deformation Relations for Elastic Members

در صورتی که  $Q$  نیروی محوری کششی باشد

$$\text{if } \frac{Q}{Q_{cr=Euler}} > 0 \Rightarrow q_j = \frac{Q}{Q_{cr=Euler}} < 0$$

$$c_{1j} = \frac{\psi_j^2 \cosh \psi_j - \psi_j \sinh \psi_j}{2 - 2 \cosh \psi_j + \psi_j \sinh \psi_j}, \quad c_{2j} = \frac{\psi_j \sinh \psi_j - \psi_j^2}{2 - 2 \cosh \psi_j + \psi_j \sinh \psi_j} \quad (6)$$

که در آن

$$\psi_j^2 = -\pi^2 q_j$$

در صورتی که  $Q$  نیروی محوری برابر با صفر باشد

$$\text{if } \frac{Q}{Q_{cr=Euler}} = 0 \Rightarrow q_j = \frac{Q}{Q_{cr=Euler}} = 0$$

$$c_{1j} = 4, \quad c_{2j} = 2 \quad (7)$$

6

# Nonlinear Elastic-Plastic Analysis of Space Frames

## □ Force-Deformation Relations for Elastic Members

$c_t$  تابع پایداری پیچشی (Torsional Stability Functions) نام دارد.

توجه: در این روابط اندرکنش لنگر و پیچش در نظر گرفته نشده است.

حالت دوم:

$$c_{\omega_0} \neq 0, \quad (GJ - Q\bar{r}_0^2) < 0$$

$$c_t = \frac{GJ - Q\bar{r}_0^2}{1 - \frac{2}{k\ell} \tan(k\ell/2)} \quad (9)$$

که در آن

$$k = \sqrt{\frac{Q\bar{r}_0^2 - GJ}{E c_{\omega_0}}}$$

$$c_{\omega_0} \neq 0, \quad (GJ - Q\bar{r}_0^2) > 0$$

$$c_t = \frac{GJ - Q\bar{r}_0^2}{1 - \frac{2}{k\ell} \tanh(k\ell/2)} \quad (8)$$

که در آن

$$k = \sqrt{\frac{GJ - Q\bar{r}_0^2}{E c_{\omega_0}}}$$

( Torsional Rigidity ) : صلبيت پيچشی ( $GJ$

( Polar radius of gyration ) : شعاع ژيراسيون قطبی ( $\bar{r}_0$

( Warping Constant ) : ثابت اعوجاج ( $c_{\omega_0}$

حالت سوم:

$$c_{\omega_0} = 0$$

$$c_t = GJ - Q\bar{r}_0^2 \quad (10)$$

7

# Nonlinear Elastic-Plastic Analysis of Space Frames

## □ Force-Deformation Relations for Elastic Members

در رابطه (4) ضریب اصلاح طول ناشی از تغییر شکل خمی (Bowing) حول محور  $\bar{X}_j$  است

$$c_{bj} = b_{1j}(\theta_{1j} + \theta_{2j})^2 + b_{2j}(\theta_{1j} - \theta_{2j})^2 \quad (11) \quad (\text{Stability Functions})$$

که در آن

است و از رابطه زیر به دست می‌آید: (Bowing Functions)  $b_{2j}$  و  $b_{1j}$

$$b_{1j} = \frac{(c_{1j} + c_{2j})(c_{2j} - 2)}{8\pi^2 q_j}, \quad b_{2j} = \frac{c_{2j}}{8(c_{1j} + c_{2j})} \quad (12)$$

# Nonlinear Elastic-Plastic Analysis of Space Frames

## □ Force-Deformation Relations for Elastic Members

Series Expressions

$$c_{1j} = 4 - \frac{2}{15}\pi^2 q_j - \frac{11}{6300}\pi^4 q_j^2 - \frac{1}{27000}\pi^6 q_j^3$$

$$c_{2j} = 2 + \frac{1}{30}\pi^2 q_j + \frac{13}{12600}\pi^4 q_j^2 + \frac{11}{378000}\pi^6 q_j^3$$

$$c'_{1j} = -\frac{2}{15}\pi^2 - \frac{11}{3150}\pi^4 q_j - \frac{1}{9000}\pi^6 q_j^2$$

$$c'_{2j} = \frac{1}{30}\pi^2 + \frac{13}{6300}\pi^4 q_j + \frac{11}{126000}\pi^6 q_j^2$$

$$b_{1j} = \frac{1}{40} + \frac{1}{2800}\pi^2 q_j + \frac{1}{168000}\pi^4 q_j^2 + \frac{37}{388080000}\pi^6 q_j^3$$

$$b_{2j} = \frac{1}{24} + \frac{1}{720}\pi^2 q_j + \frac{1}{20160}\pi^4 q_j^2 + \frac{1}{604800}\pi^6 q_j^3$$

$$b'_{1j} = \frac{1}{2800}\pi^2 + \frac{1}{84000}\pi^4 q_j + \frac{37}{129360000}\pi^6 q_j^2$$

$$b'_{2j} = \frac{1}{720}\pi^2 + \frac{1}{10080}\pi^4 q_j + \frac{1}{201600}\pi^6 q_j^2$$

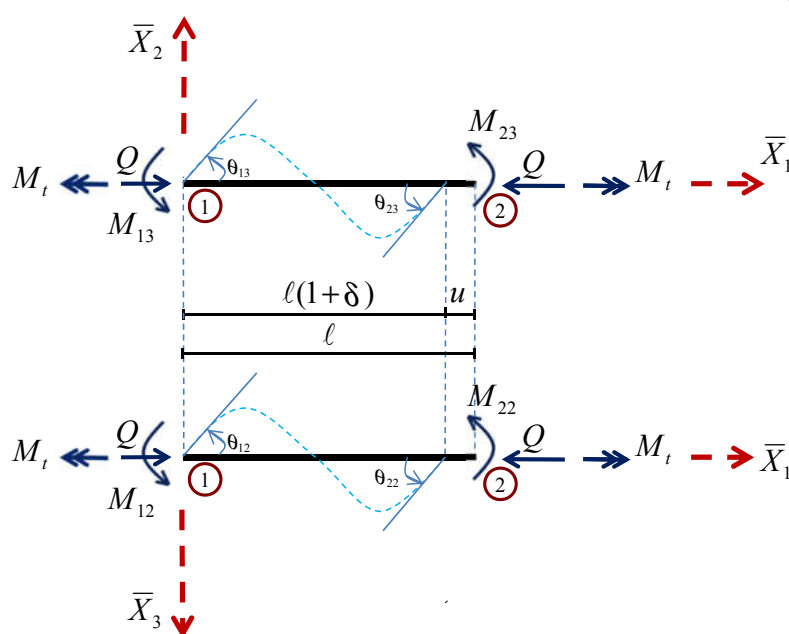
این عبارات بر حسب سری، که برای هر دو حالت نیروی محوری کششی و فشاری معتبر است، برای مقادیر کوچک  $q$  صادق است.

9

# Nonlinear Elastic-Plastic Analysis of Space Frames

## □ Large Deformation Elastic-Plastic Analysis

رابطه نمایی بین تغییر شکل نسبی اعضا و نیروهای متناظر به صورت زیر است:



$$\{\Delta \bar{S}\} = [t] \{\Delta \bar{u}\} \quad (13)$$

بردار  $\{\Delta \bar{u}\}$  نشان دهنده مقادیر نمایی تغییر شکل های نسبی عضو است

$$\begin{aligned} \bar{u}_1 &= \theta_{13} & \bar{u}_2 &= \theta_{23} & \bar{u}_3 &= \theta_{12} \\ \bar{u}_4 &= \theta_{22} & \bar{u}_5 &= \Phi_t & \bar{u}_6 &= u / \ell \end{aligned} \quad (14)$$

بردار تغییر شکل های نسبی عضو  $\{\bar{S}\}$  نیز به صورت زیر است:

$$\begin{aligned} \bar{S}_1 &= M_{13} & \bar{S}_2 &= M_{23} & \bar{S}_3 &= M_{12} \\ \bar{S}_4 &= M_{22} & \bar{S}_5 &= M_t & \bar{S}_6 &= Q\ell \end{aligned} \quad (15)$$

Fig. 2. Relative Member Deformations and Corresponding Forces

# Nonlinear Elastic-Plastic Analysis of Space Frames

## □ Large Deformation Elastic-Plastic Analysis

در رابطه (۱۳) ماتریس سختی مماسی به صورت زیر به دست می‌آید.

$$[t] = \frac{EI}{L} \begin{bmatrix} \varepsilon_3 c_{13} + \frac{G_{13}^2}{\pi^2 H} & \varepsilon_3 c_{23} + \frac{G_{13} G_{23}}{\pi^2 H} & \frac{G_{13} G_{12}}{\pi^2 H} & \frac{G_{13} G_{22}}{\pi^2 H} & 0 & \frac{G_{13}}{H} \\ \varepsilon_3 c_{23} + \frac{G_{13} G_{23}}{\pi^2 H} & \varepsilon_3 c_{13} + \frac{G_{23}^2}{\pi^2 H} & \frac{G_{23} G_{12}}{\pi^2 H} & \frac{G_{23} G_{22}}{\pi^2 H} & 0 & \frac{G_{23}}{H} \\ \frac{G_{13} G_{12}}{\pi^2 H} & \frac{G_{23} G_{12}}{\pi^2 H} & \varepsilon_2 c_{12} + \frac{G_{12}^2}{\pi^2 H} & \varepsilon_2 c_{22} + \frac{G_{12} G_{22}}{\pi^2 H} & 0 & \frac{G_{12}}{H} \\ \frac{G_{13} G_{22}}{\pi^2 H} & \frac{G_{23} G_{22}}{\pi^2 H} & \varepsilon_2 c_{22} + \frac{G_{12} G_{22}}{\pi^2 H} & \varepsilon_2 c_{12} + \frac{G_{22}^2}{\pi^2 H} & 0 & \frac{G_{22}}{H} \\ 0 & 0 & 0 & 0 & \frac{c_t}{EI} & 0 \\ \frac{G_{13}}{H} & \frac{G_{23}}{H} & \frac{G_{12}}{H} & \frac{G_{22}}{H} & 0 & \frac{\pi^2}{H} \end{bmatrix} \quad (16)$$

11

# Nonlinear Elastic-Plastic Analysis of Space Frames

## □ Large Deformation Elastic-Plastic Analysis

که در رابطه (۱۶)

$$\begin{aligned} G_{1j} &= c'_{1j}\theta_{1j} + c'_{2j}\theta_{2j} \\ G_{2j} &= c'_{2j}\theta_{1j} + c'_{1j}\theta_{2j} \end{aligned} \quad (17)$$

$q_j$  مشتق نسبت به  $c'_{1j}$  و  $c'_{2j}$

$$H = \frac{\pi^2}{\lambda^2} + \sum_{j=2,3} \frac{1}{\varepsilon_j} [b'_{1j}(\theta_{1j} + \theta_{2j})^2 + b'_{2j}(\theta_{1j} - \theta_{2j})^2] \quad (18)$$

در این روابط

$$\varepsilon_j = \frac{I_j}{I} \quad , \quad \lambda = \frac{\ell}{\sqrt{I/A}} \quad (19)$$

: ممان اینرسی مرجع اختیاری است.  $I$

12

# Nonlinear Elastic-Plastic Analysis of Space Frames

## □ Inelastic Effects

توسعه فرمول بندی الاستیک قاب های سه بعدی

فرضیات:

- رفتار مصالح الاستیک - پلاستیک ایدهآل
- جاری شدن در انتهای اعضا به صورت مفصل پلاستیک (مت مرکز)
- اعضا در طول بین دو مفصل پلاستیک به صورت الاستیک باقی میمانند.
- از اثرات کرنش سخت شوندگی و بار برداری الاستیک (برگشت تنفس) در مفاصل پلاستیک صرف نظر شده است.

تعديل ها و تصحیح های لازم:

- تعیین معیاری جهت جاری شدن (تشکیل مفصل پلاستیک)
  - تصحیح روابط نیرو - تغییر شکل به علت وجود مفصل پلاستیک
  - تصحیح  $[t]$  به علت وجود مفصل پلاستیک
  - تصحیح  $[r]$  به علت وجود مفصل پلاستیک
  - روابط لازم برای محاسبه نیروی محوری اعضا با استفاده از تغییر شکل های نسبی و ظرفیت ممان پلاستیک.
- بعد از تسلیم ممان ثابت نمیماند  $(P - M - \bar{M})$  روابط بر اساس اتصال گیردار بوده باید برای مفصل پلاستیک اصلاح شود.

13

# Nonlinear Elastic-Plastic Analysis of Space Frames

## □ Inelastic Effects

معیار تسلیم (Yielding Criteria) برای تشکیل مفاصل پلاستیک به صورت زیر فرض میگردد:

$$g_i = \left[ \left( \frac{\bar{M}_t}{M_{p_1}} \right)^2 + \sum_{j=2}^3 \left( \frac{\bar{M}_{ij}}{M_{p_j}} \right)^2 \right]^{\frac{1}{2}} + \left( \frac{\bar{Q}}{Q_y} \right)^2 \quad (i=1, 2) \quad (20)$$

$$Q_y = F_y A \quad (21)$$

: لنگر پیچشی زمانی که مفاصل پلاستیک در انتهای  $i$  عضو تشکیل شده است.

: نیروی محوری، زمانی که مفاصل پلاستیک در انتهای عضو تشکیل شده است.

: لنگر در گره  $i$  حول محور  $j$  زمانی که در انتهای  $i$  عضو مفاصل پلاستیک تشکیل شده است.

: ممان پلاستیکی که مقطع در پیچش خالص (در غیاب نیروی محوری و لنگر خمسی) میتواند تحمل کند.

: ممان پلاستیکی تک محوره حول محور  $j$  ( $j=2,3$ ) که مقطع در خمس خالص میتواند تحمل کند.

: تنش تسلیم  $F_y$

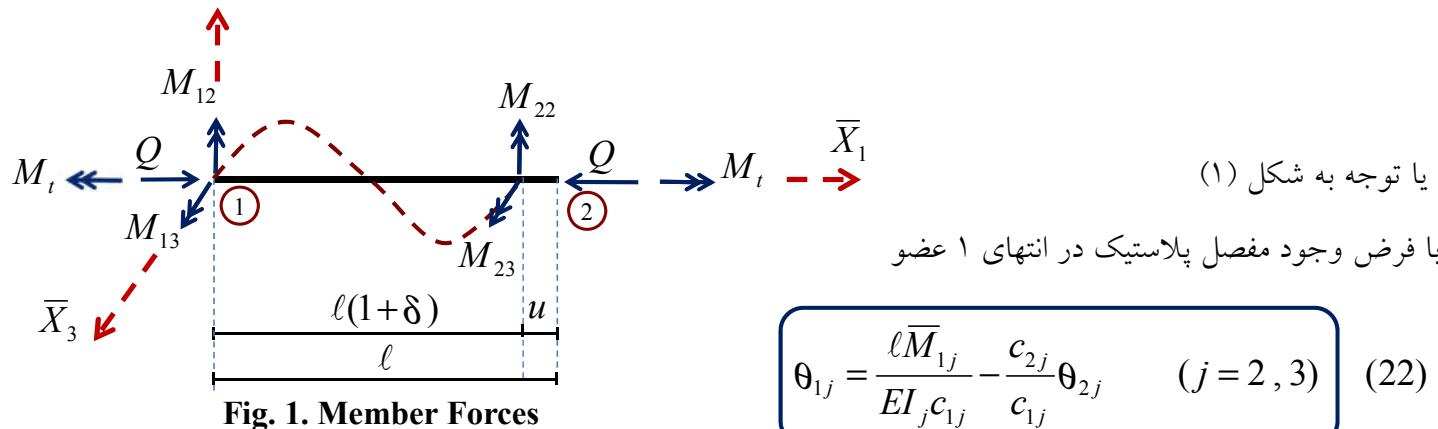
$g_i < 1$	مقطع الاستیک
$g_i = 1$	مقطع در مرز پلاستیک
$g_i > 1$	تعريف نشده است.

14

# Nonlinear Elastic-Plastic Analysis of Space Frames

## □ Inelastic Effects

زمانی که مفصل‌های پلاستیک ظاهر می‌شوند دوران‌های نسبی انتهای عضو در مفصل‌های انتهایی به جای استفاده از ماتریس‌های جهت‌گیری گره‌های مجاور، از روابط تغییر شکل‌های نسبی و نیروهای متناظر عضو، روابط (۱) تا (۴)، به دست می‌آیند.



با فرض وجود مفصل پلاستیک در انتهای ۲ عضو

$$\theta_{2j} = \frac{\ell \bar{M}_{2j}}{EI_j c_{1j}} - \frac{c_{2j}}{c_{1j}} \theta_{1j} \quad (j = 2, 3) \quad (23)$$

15

# Nonlinear Elastic-Plastic Analysis of Space Frames

## □ Inelastic Effects

با فرض وجود مفصل پلاستیک در دو انتهای عضو

$$\theta_{1j} = \frac{\ell(c_{1j} \bar{M}_{1j} - c_{2j} \bar{M}_{2j})}{EI_j (c_{1j}^2 - c_{2j}^2)} \quad (j = 2, 3) \quad (24)$$

$$\theta_{2j} = \frac{\ell(c_{1j} \bar{M}_{2j} - c_{2j} \bar{M}_{1j})}{EI_j (c_{1j}^2 - c_{2j}^2)} \quad (j = 2, 3) \quad (25)$$

$$\phi_t = \frac{\ell \bar{M}_t}{c_t} \quad (26)$$

در هر یک از سه حالت مطرح شده، زوایه پیچش نسبی انتهای عضو برابر است با

$$\bar{M}_{1j} = \bar{M}_{2j} = \bar{M}_t = 0 \quad (26)$$

برای عضوی که دارای مفصل واقعی در یک انتها و در انتهای دیگر دارای مفصل پلاستیک باشد، دوران‌های نسبی انتهایی  $\theta_{1j}$  و  $\theta_{2j}$  از روابط (۲۴) و (۲۵) به دست می‌آیند.

برای مثال اگر عضوی دارای یک مفصل حقیقی در انتهای ۱ و یک مفصل پلاستیک در انتهای ۲ باشد

$$\theta_{1j} = -\frac{\ell c_{2j} \bar{M}_{2j}}{EI_j (c_{1j}^2 - c_{2j}^2)} ; \quad \theta_{2j} = \frac{\ell c_{1j} \bar{M}_{2j}}{EI_j (c_{1j}^2 - c_{2j}^2)} \quad (j = 2, 3) \quad (27)$$

16

# Nonlinear Elastic-Plastic Analysis of Space Frames

## □ Inelastic Effects

[t] ماتریس سختی مماسی در رابطه (۱۶) برای تغییر شکل‌های نسبی عضوی که دارای مفصل در دو انتهای می‌باشد به این صورت به دست می‌آید که: مختصات آزاد شده از روابط (۱) تا (۴) حذف می‌گردد. از روابط به دست آمده، جمله به جمله، نسبت به مختصات باقی‌مانده مشتق گرفته می‌شود. اگر از تغییرات نمایی در ظرفیت‌های لنگر پلاستیک صرف نظر شود (یعنی با مفصل‌های پلاستیک مانند مفصل‌های واقعی رفتار شود) درایه‌های غیر صفر ماتریس  $6 \times 6$  [t] به صورت زیر به دست می‌آید.

برای عضوی که دارای یک مفصل در انتهای ۱ است:

$$t_{ij} = t_{ji} = \frac{a_{ij}}{z_{11}z_{33} - z_{13}^2} \quad (for \quad i, j = 2, 4, 6) \quad (28)$$

که در آن

$$a_{ij} = z_{1i}z_{13}z_{3j} - z_{1i}z_{1j}z_{33} + z_{13}z_{i3}z_{1j} - z_{11}z_{i3}z_{3j} + z_{11}z_{ij}z_{33} - z_{13}^2z_{ij} \quad (29)$$

17

# Nonlinear Elastic-Plastic Analysis of Space Frames

## □ Inelastic Effects

برای عضوی که دارای یک مفصل در انتهای ۲ است:

$$t_{ij} = t_{ji} = \frac{a_{ij}}{z_{22}z_{44} - z_{24}^2} \quad (for \quad i, j = 1, 3, 6) \quad (30)$$

که در آن

$$a_{ij} = z_{i2}z_{24}z_{j4} - z_{i2}z_{2j}z_{44} + z_{ij}z_{22}z_{44} - z_{ij}z_{24}^2 + z_{i4}z_{2j}z_{24} - z_{i4}z_{22}z_{j4} \quad (31)$$

و برای عضوی که در دو انتهای دارای مفصل باشد:

$$t_{66} = AE\ell \quad (32)$$

در روابط (۲۸) تا (۳۱) پارامترهای  $z_{ij}$  مربوط به درایه‌های ماتریس سختی مماسی [t]، رابطه (۱۶)، است که در انتهای عضو مفصلی وجود نداشته باشد (یعنی  $t$  در حالت الاستیک).

18

# Nonlinear Elastic-Plastic Analysis of Space Frames

## □ Inelastic Effects

در روابط (۲۸) تا (۳۱) از تغییرات نمایی در ظرفیت‌های لنگر پلاستیک صرف نظر شده است

$$\Delta \bar{M}_{1j} = \Delta \bar{M}_{2j} = \Delta \bar{M}_t = 0$$

همچنین در رابطه (۳۲) از اثر Bowing خمی بر روی نیروی محوری عضو صرف نظر شده است

$$\Delta c_{bj} = 0$$

باید توجه شود که این ساده سازی‌ها تنها به ماتریس‌های سختی مماسی محدود می‌شود و برای معادلات تعادل سیستم لحاظ نمی‌گردد. زمانی که از تکرار Newton Raphson برای حل معادلات تعادل سیستم استفاده می‌شود؛ هر گونه تقریب محدود به ماتریس‌های سختی مماسی، به طور معمول بر روی نرخ همگرایی در فرآیند تکرار اثر گذاشته اما تاثیری بر روی روند همگرایی به پاسخ واقعی ندارد.

ماتریس سختی مماسی عضو  $[T]$  در دستگاه مختصات کلی از رابطه زیر به دست می‌آید:

$$[T] = [R][\bar{B}][t][\bar{B}]^T[R]^T + \sum_{k=1}^6 \bar{S}_k [R][\bar{g}^{(k)}][R]^T \quad (33)$$

پارامترهای موجود در رابطه (۳۳) در بخش (۴) معرفی شده است.

19

# Nonlinear Elastic-Plastic Analysis of Space Frames

## □ Solution Technique

روندهای بزرگ قاب فضایی است. به جز آن که در اینجا از روابط ارائه شده در ارتباط با نیرو-تغییر شکل و سختی مماسی برای آزاد سازی اعضا ناشی از مفصل پلاستیک استفاده شده است.

در رابطه (۴) مربوط به نیروی محوری اعضا  $Q$  شامل  $b_{1j}$ ،  $b_{2j}$ ، و دوران‌ها در انتهای آزاد شده است؛ که این توابع خود تابعی از  $Q$  می‌باشند. با استفاده از یک روند تکرار شونده نیروی محوری یک عضو براساس هندسه تغییر شکل یافته معلوم محاسبه می‌شود. برای انجام این کار باید رابطه (۴) بر حسب یک پارامتر نیروی محوری بدون بعد نوشته می‌شود.

$$K(q) = \frac{\pi^2}{\lambda^2} q + \sum_{j=2}^3 c_{bj} - \frac{u}{l} = 0 \quad (34)$$

که در آن

$$q = \frac{Q\ell^2}{\pi^2 EI} \quad , \quad \lambda = \frac{\ell}{\sqrt{I/A}} \quad (35)$$

: ممان اینرسی مرجع اختیاری است.  $I$

20

# Nonlinear Elastic-Plastic Analysis of Space Frames

## □ Solution Technique

راه حل تقریبی به صورت زیر می‌باشد:

$$q_{i+1} = q_i + \Delta q_i = q_i - \frac{K(q_i)}{K'(q_i)} \quad (36)$$

به اندازه کافی کوچک است.

که در آن

$$K'(q_i) = \frac{\pi^2}{\lambda^2} + \sum_{j=2}^3 c'_{bj} \quad (37)$$

$$c'_{bj} = b'_{1j}(\theta'_{1j} + \theta'_{2j})^2 + b'_{2j}(\theta'_{1j} - \theta'_{2j})^2 + 2b_{1j}(\theta'_{1j} + \theta'_{2j})(\theta'_{1j} + \theta'_{2j}) + 2b_{2j}(\theta'_{1j} - \theta'_{2j})(\theta'_{1j} - \theta'_{2j}) \quad (j = 2, 3) \quad (38)$$

عبارت‌های  $\theta'_{ij}$  در انتهای اعضای بدون مفصل که به صورت صلب به گره‌ها متصل شده است برابر با صفر است.

21

# Nonlinear Elastic-Plastic Analysis of Space Frames

## □ Solution Technique

برای یک عضو دارای مفصل عبارت  $\theta'_{ij}$  در انتهای‌های آزاد با مشتق‌گیری از روابط (۲۷) تا (۲۲) نسبت به  $q$  به دست می‌آید. بنابراین برای یک عضو با مفصل پلاستیک در انتهای ۱

$$\theta'_{1j} = \frac{\ell}{EI_j c_{1j}^2} (\bar{M}'_{1j} c_{1j} - \bar{M}_{1j} c'_{1j}) + \frac{\theta_{2j}}{c_{1j}^2} (c'_{1j} c_{2j} - c_{1j} c'_{2j}) , \quad (j = 2, 3) \quad (39)$$

برای یک عضو با مفصل پلاستیک در انتهای ۲

$$\theta'_{2j} = \frac{\ell}{EI_j c_{1j}^2} (\bar{M}'_{2j} c_{1j} - \bar{M}_{2j} c'_{1j}) + \frac{\theta_{1j}}{c_{1j}^2} (c'_{1j} c_{2j} - c_{1j} c'_{2j}) , \quad (j = 2, 3) \quad (40)$$

22

# Nonlinear Elastic-Plastic Analysis of Space Frames

## □ Solution Technique

و برای عضوی که در دو انتهای دارای مفصل باشد:

$$\Theta'_{1j} = \frac{\ell}{EI_j(c_{1j}^2 - c_{2j}^2)^2} [(c'_{1j}\bar{M}_{1j} + c_{1j}\bar{M}'_{1j} - c'_{2j}\bar{M}_{2j} - c_{2j}\bar{M}'_{2j}) \\ (c_{1j}^2 - c_{2j}^2) - 2(c_{1j}\bar{M}_{1j} - c_{2j}\bar{M}_{2j})(c_{1j}c'_{1j} - c_{2j}c'_{2j})] , \quad (j=2,3) \quad (41)$$

$$\Theta'_{2j} = \frac{\ell}{EI_j(c_{1j}^2 - c_{2j}^2)^2} [(c'_{1j}\bar{M}_{2j} + c_{1j}\bar{M}'_{2j} - c'_{2j}\bar{M}_{1j} - c_{2j}\bar{M}'_{1j}) \\ (c_{1j}^2 - c_{2j}^2) - 2(c_{1j}\bar{M}_{2j} - c_{2j}\bar{M}_{1j})(c_{1j}c'_{1j} - c_{2j}c'_{2j})] , \quad (j=2,3) \quad (42)$$

در روابط (۳۹) تا (۴۲)، مشتق ظرفیت لنگر پلاستیک، از مشتق‌گیریتابع تسلیم رابطه (۲۰) نسبت به نیروی محوری  $q$  به دست می‌آید.

در حالتی که مفصل‌ها واقعی باشد در روابط (۳۹) تا (۴۲)

$$\bar{M}_{ij} = \bar{M}'_{ij} = 0$$

23

# Nonlinear Elastic-Plastic Analysis of Space Frames

## □ Solution Technique

$$\bar{M}'_{12} = \frac{d\bar{M}_{12}}{dq} = \frac{\partial \bar{M}_{12}}{\partial \bar{Q}} \cdot \frac{\partial \bar{Q}}{\partial q} + \frac{\partial \bar{M}_{12}}{\partial \bar{M}_t} \cdot \frac{\partial \bar{M}_t}{\partial \bar{Q}} \cdot \frac{d\bar{Q}}{dq} + \frac{\partial \bar{M}_{12}}{\partial \bar{M}_{13}} \cdot \frac{\partial \bar{M}_{13}}{\partial \bar{Q}} \cdot \frac{d\bar{Q}}{dq} \quad (43)$$

$$\bar{M}'_{13} = \frac{d\bar{M}_{13}}{dq} = \frac{\partial \bar{M}_{13}}{\partial \bar{Q}} \cdot \frac{\partial \bar{Q}}{\partial q} + \frac{\partial \bar{M}_{13}}{\partial \bar{M}_t} \cdot \frac{\partial \bar{M}_t}{\partial \bar{Q}} \cdot \frac{d\bar{Q}}{dq} + \frac{\partial \bar{M}_{13}}{\partial \bar{M}_{12}} \cdot \frac{\partial \bar{M}_{12}}{\partial \bar{Q}} \cdot \frac{d\bar{Q}}{dq}$$

$$\frac{\partial \bar{M}_t}{\partial \bar{Q}} = \frac{A}{[(g_1 - (\bar{Q}/Q_y)^2)^2 - (\bar{M}_{12}/M_{p2})^2 - (\bar{M}_{13}/M_{p3})^2]^{0.5}} , \quad A = \left( \frac{-2}{Q_y^2} \right) \bar{Q} (1 - (\bar{Q}/Q_y)^2) \quad (44)$$

$$\frac{\partial \bar{M}_{12}}{\partial \bar{Q}} = \frac{A}{[(g_1 - (\bar{Q}/Q_y)^2)^2 - (\bar{M}_{13}/M_{p3})^2 - (\bar{M}_t/M_{p1})^2]^{0.5}} \quad (45)$$

$$\frac{\partial \bar{M}_{13}}{\partial \bar{Q}} = \frac{A}{[(g_1 - (\bar{Q}/Q_y)^2)^2 - (\bar{M}_t/M_{p1})^2 - (\bar{M}_{12}/M_{p2})^2]^{0.5}}$$

24

# Nonlinear Elastic-Plastic Analysis of Space Frames

## □ Solution Technique

$$\frac{\partial \bar{M}_{12}}{\partial M_t} = \frac{-(M_{p2}/M_{p1})^2 \bar{M}_t}{[(g_1 - (\bar{Q}/Q_y)^2)^2 - (\bar{M}_{13}/M_{p3})^2 - (\bar{M}_t/M_{p1})^2]^{0.5}} \quad (46)$$

$$\frac{\partial \bar{M}_{12}}{\partial M_{13}} = \frac{-(M_{p2}/M_{p3})^2 \bar{M}_{13}}{[(g_1 - (\bar{Q}/Q_y)^2)^2 - (\bar{M}_{13}/M_{p3})^2 - (\bar{M}_t/M_{p1})^2]^{0.5}}$$

$$\frac{\partial \bar{M}_{13}}{\partial M_t} = \frac{-(M_{p3}/M_{p1})^2 \bar{M}_t}{[(g_1 - (\bar{Q}/Q_y)^2)^2 - (\bar{M}_t/M_{p1})^2 - (\bar{M}_{12}/M_{p2})^2]^{0.5}} \quad (47)$$

$$\frac{\partial \bar{M}_{13}}{\partial M_{12}} = \frac{-(M_{p3}/M_{p2})^2 \bar{M}_{12}}{[(g_1 - (\bar{Q}/Q_y)^2)^2 - (\bar{M}_t/M_{p1})^2 - (\bar{M}_{12}/M_{p2})^2]^{0.5}}$$

مشابه عملیات بالا انجام می‌گیرد  $\bar{M}'_{23}$   $\bar{M}'_{22}$

25

# Nonlinear Elastic-Plastic Analysis of Space Frames

## □ Solution Technique

بعد از آن که نیروی محوری عضو با روند تکراری تعیین شد؛ لنگرهای انتهایی اعضا از روابط (۱) تا (۳) به دست می‌آید. زمانی که در مقاطع انتهایی معیار تسلیم، رابطه (۲۰)، برقرار شد، مفصل‌های پلاستیک به اعضای مربوطه اضافه می‌گردد.

اگر مفصل‌های پلاستیک قبلاً در انتهای عضو تشکیل شده باشد، ظرفیت لنگر آن به صورت زیر بروز می‌گردد:

$$\Delta \bar{M}_{ij} = \left( \frac{\ell^2}{\pi^2 EI} \right) \bar{M}'_{ij} (\Delta Q) \quad , \quad (i = 1, 2 \quad , \quad j = 2, 3) \quad (48)$$

$$\Delta \bar{M}_t = \left( \frac{\ell^2}{\pi^2 EI} \right) \bar{M}'_t (\Delta Q) \quad (49)$$

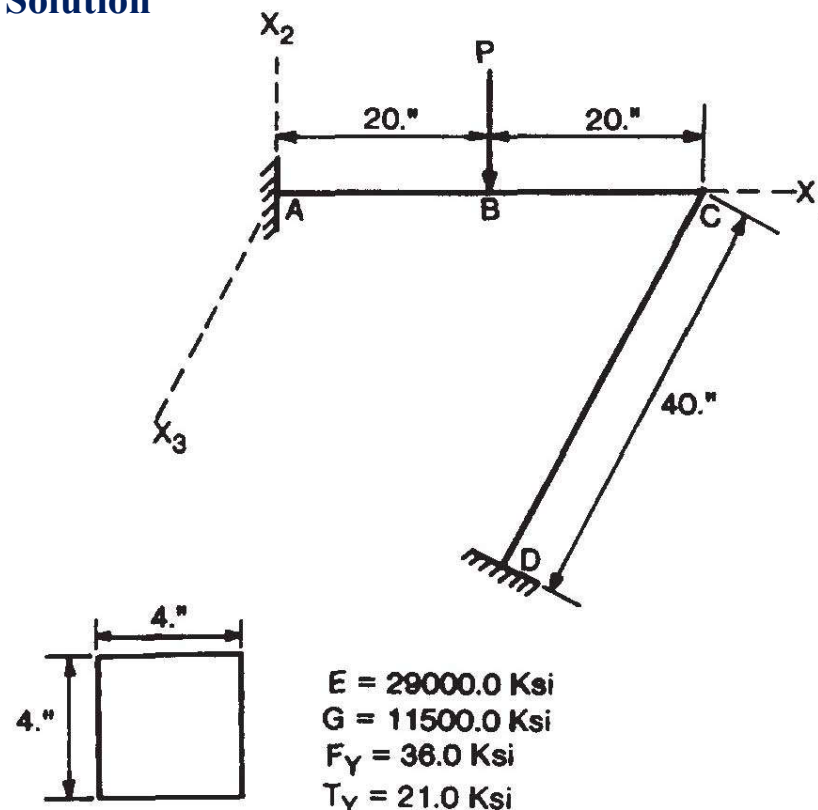
برای اطمینان از آن که رابطه (۲۰) از مقدار مجاز تجاوز نکند.

26

# Nonlinear Elastic-Plastic Analysis of Space Frames

## □ Numerical Solution

Example 01



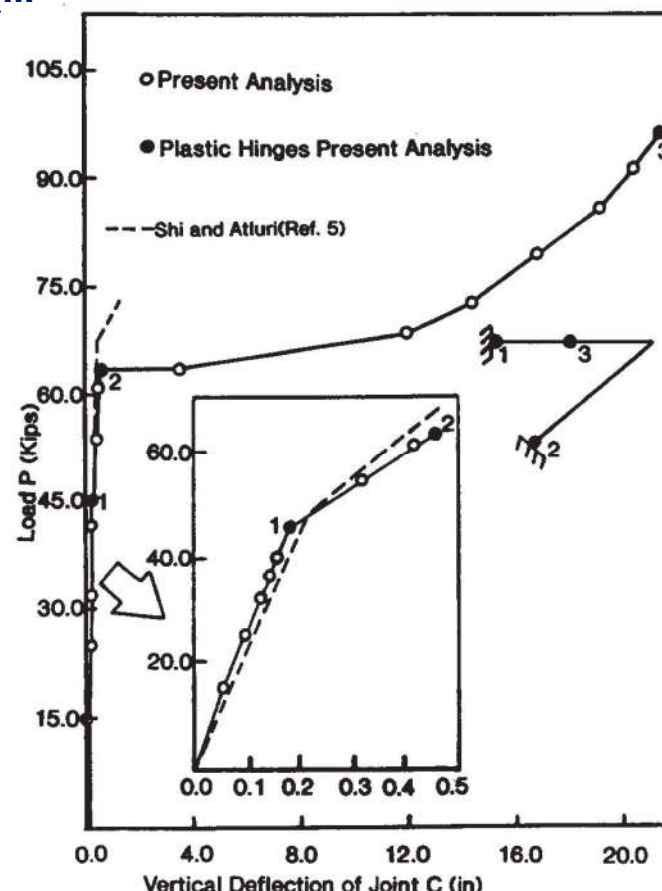
Horizontal bent: dimensions and properties (1 kip = 4.45 kN, 1 in. = 25.4 mm).

27

# Nonlinear Elastic-Plastic Analysis of Space Frames

## □ Numerical Solution

Example 01



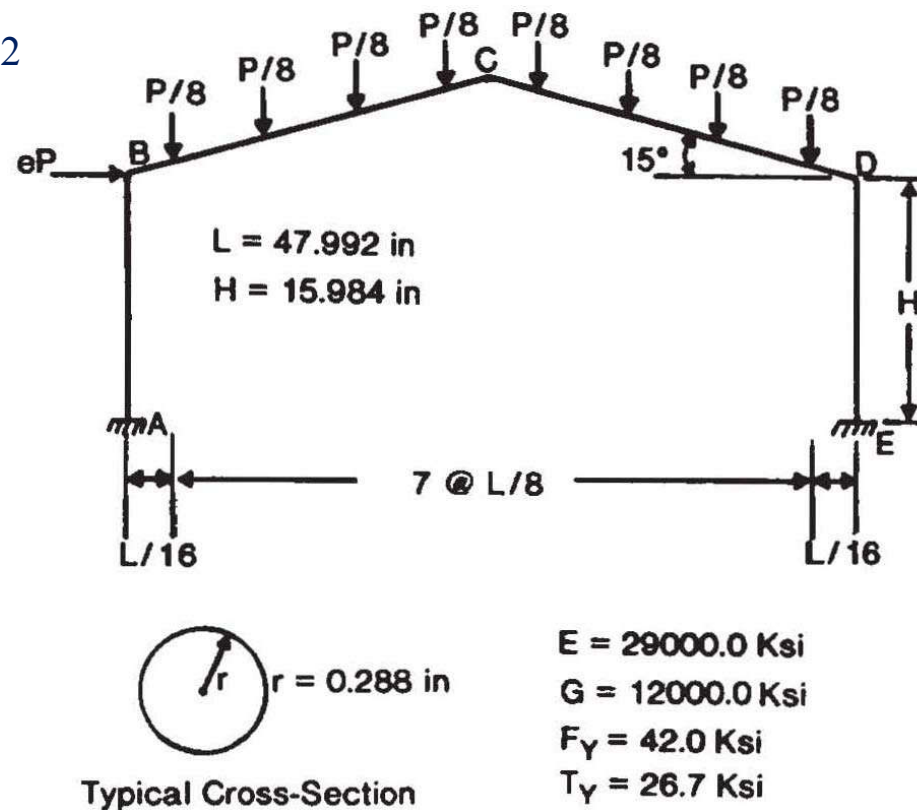
Load-deflection curves for horizontal bent (1 kip = 4.45 kN, 1 in. = 25.4 mm).

28

# Nonlinear Elastic-Plastic Analysis of Space Frames

## □ Numerical Solution

Example 02



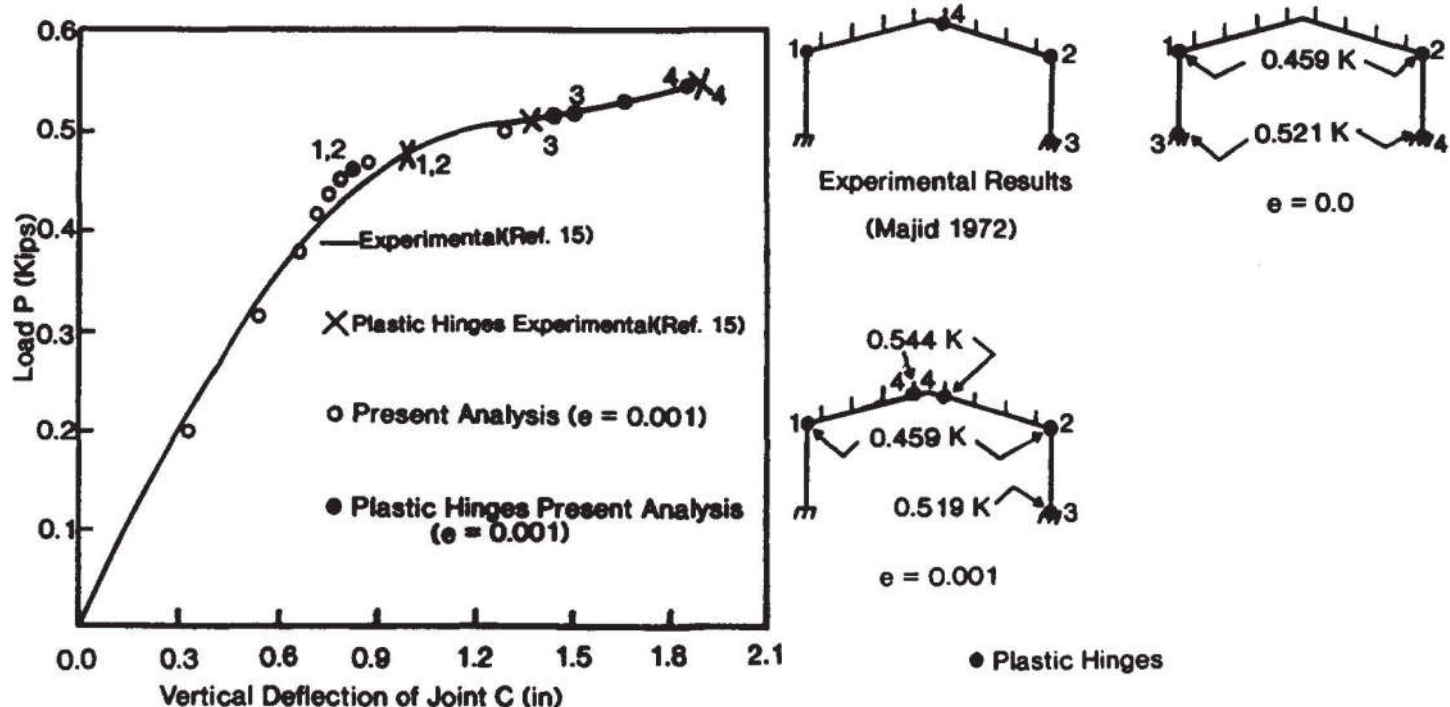
Gable frame: dimensions and properties (1 kip = 4.45 kN, 1 in.=2.54 mm).

29

# Nonlinear Elastic-Plastic Analysis of Space Frames

## □ Numerical Solution

Example 02



Load-deflection curves for gable frame (vertical deflection) (1 kip=4.45kN, 1 in. = 2.54 mm).

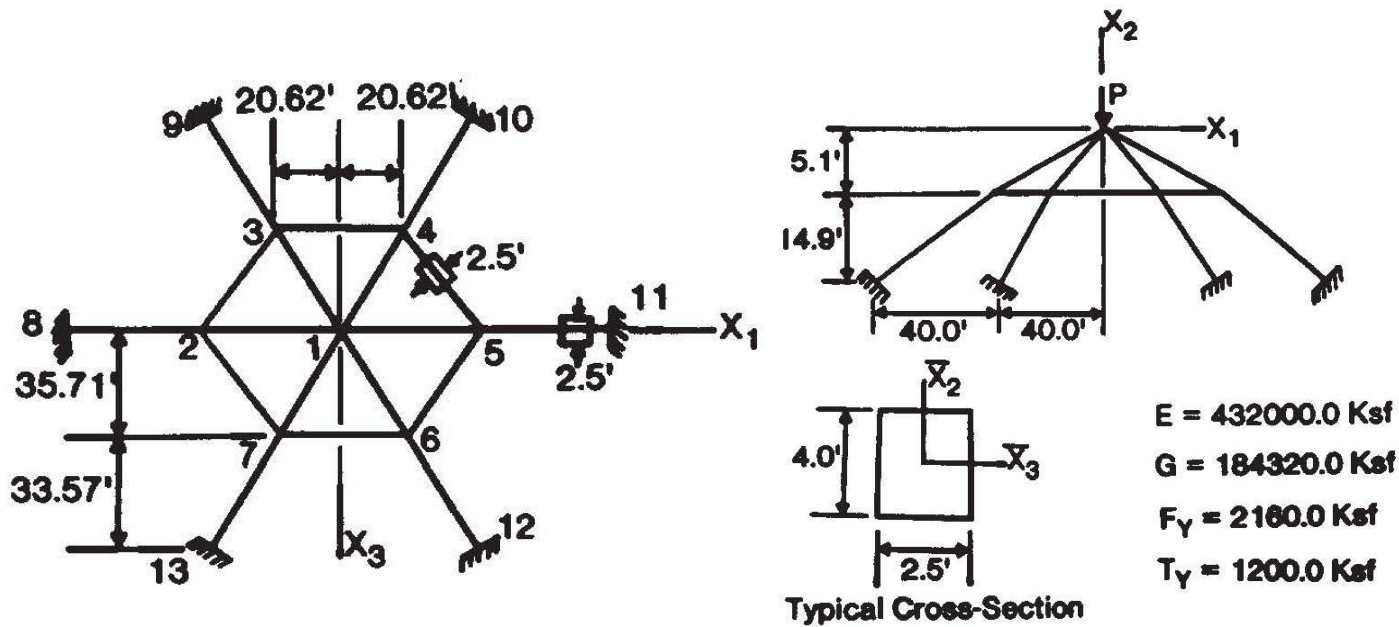
Plastic hinges at collapse-gable frame

30

# Nonlinear Elastic-Plastic Analysis of Space Frames

## □ Numerical Solution

### Example 03



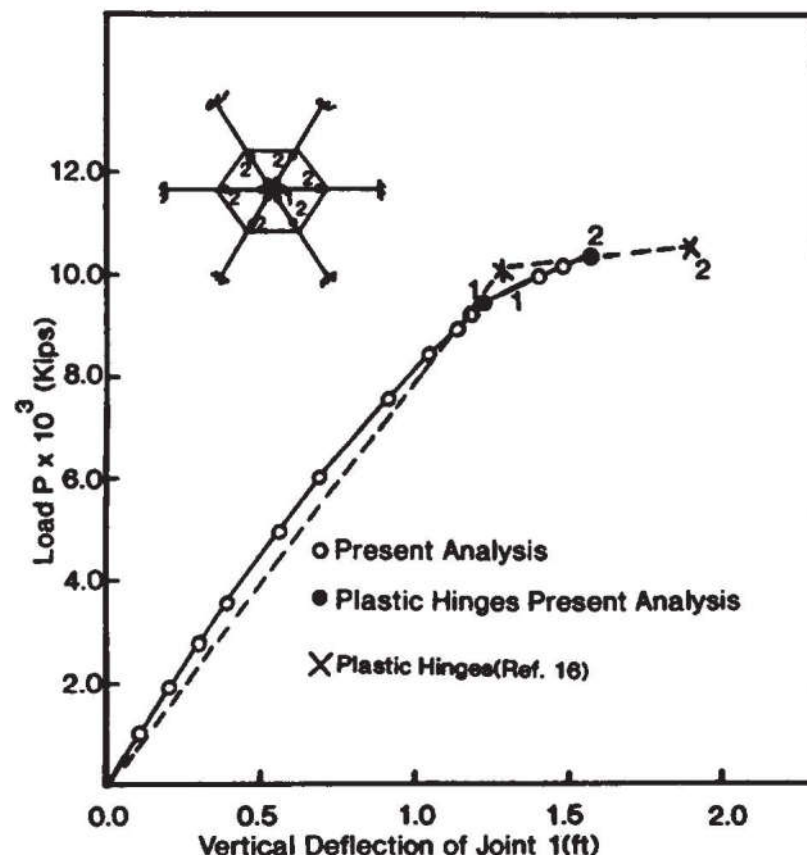
Framed dome: dimensions and properties (1 ft. = 0.305 m, 1 kip = 4.45 kN).

31

# Nonlinear Elastic-Plastic Analysis of Space Frames

## □ Numerical Solution

### Example 03



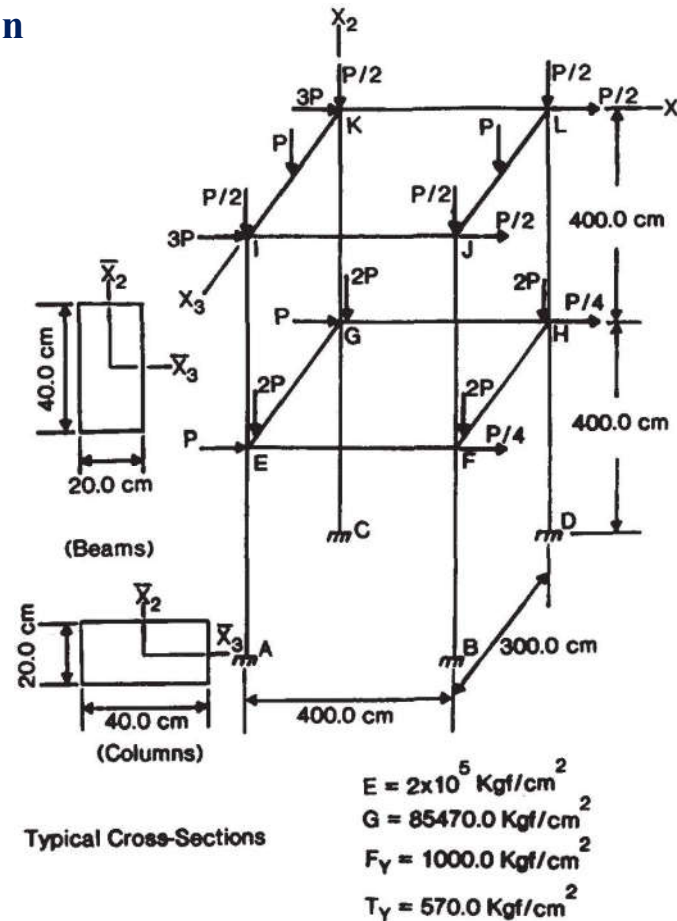
Load-deflection curves for framed dome (1 kip = 4.45 kN, 1 ft. = 0.305 m).

32

# Nonlinear Elastic-Plastic Analysis of Space Frames

## □ Numerical Solution

### Example 04



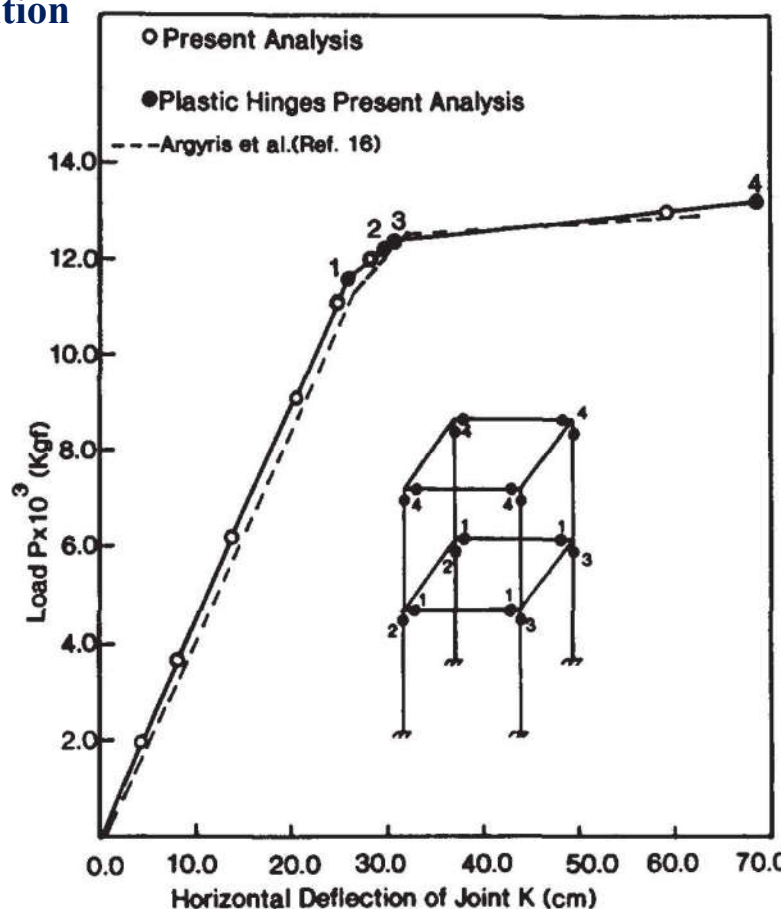
Two-storey frame: dimensions and properties (1 kgf = 2.2046lb).

33

# Nonlinear Elastic-Plastic Analysis of Space Frames

## □ Numerical Solution

### Example 04



Load-deflection curves for two-storey frame.

34